

МАТЕМАТИЧЕСКАЯ МОДЕЛЬ КОГЕРЕНТНОЙ ВОЛОКОННО-ОПТИЧЕСКОЙ СИСТЕМЫ ПЕРЕДАЧИ

MATHEMATICAL MODEL COHERENT OF FIBER-OPTIC TRANSMISSIONS SYSTEM

Аннотация. Получены выражения, описывающие оптические и электрические сигналы и шумы в цифровой когерентной волоконно-оптической системе передачи (КВОСП). Разработанная математическая модель КВОСП учитывает векторное сложение оптических полей сигнала и гетеродина на поверхности фотодиода, флуктуации состояния поляризации этих полей, амплитудные и фазовые шумы сигнального и гетеродинного лазеров, межсимвольную интерференцию, постдетекторную фильтрацию, демодуляцию и другие факторы.

Summary. The describing optical and electrical signals, in digital coherent of fiber-optic transmission system (CFOTS) are received in a general view of expression. The developed model CFOTS takes into account vector addition of fields of a signal and heterodyne on the photodiode, fluctuation of a condition of polarization of fields transmitter and heterodyne of lasers, amplitude and phase noise of both lasers, intersymbol interference, postdetection a filtration, demodulation and other factors.

Цель работы – анализ процессов в цифровой когерентной ВОСП (КВОСП) и построение ее математической модели, позволяющей аналитическую оптимизацию параметров и компьютерное моделирование. Структурная схема (см. рис.) цифровой КВОСП, состоит из трех subsystem – передающего устройства, канала передачи и гетеродинного (гомодинного) приемного устройства. Опишем аналитически преобразования оптических полей сигнала и гетеродина и электрических сигналов и шумов в этих subsystemах и КВОСП в целом.

Источник цифрового сообщения создает в течение равных промежутков времени T символы, временная последовательность которых g_v является цифровым сообщением, подлежащим передаче. Тактовый интервал T равен длительности символа, а $1/T$ – скорости передачи символов. Символы источника g_v выбираются из ансамбля, состоящего из M уровней. Различают многоуровневые ($M > 2$) и двухуровневые ($M = 2$) источники сообщения. Для последних $g_v \in \{0, L\}$. Положим, что вероятности ошибки $p(g_v = 0)$ и $p(g_v = L)$, при условии статистической независимости символов 0 и L , одинаковы, т.е.

$$p(g_v = 0) = p(g_v = L) = 0,5.$$

Электрическое передающее устройство преобразует сигнал источника сообщения $g(t)$ в электрический сигнал $s_e(t)$. Комплексное представление сигналов $s_e(t)$ основных форматов цифровой передачи имеет вид

$$\left. \begin{aligned} \underline{s}_e(t) &= \mathcal{E}_e \sum_{v=-\infty}^{v=\infty} s_v \operatorname{rect}\left(\frac{t-vT}{T}\right) = \mathcal{E}_e \underline{s}_e(t) = \mathcal{E}_e s_e(t) \text{ для АИМ,} \\ \underline{s}_e(t) &= \mathcal{E}_e \exp\left(j \sum_{v=-\infty}^{v=\infty} \pi(1-s_v) \operatorname{rect}\left(\frac{t-vT}{T}\right)\right) = \mathcal{E}_e \underline{s}(t) \text{ для ФИМ, ДФИМ,} \\ \underline{s}_e(t) &= \mathcal{E}_e \exp\left(j \sum_{v=-\infty}^{v=\infty} \int_{-\infty}^t 2\pi f_{\text{пн}}(2s_v-1) \operatorname{rect}\left(\frac{\tau-vT}{T}\right) d\tau\right) = \mathcal{E}_e \underline{s}(t) \text{ для ЧИМ.} \end{aligned} \right\} \quad (1)$$

Здесь АИМ, ФИМ, ДФИМ и ЧИМ – амплитудно-, фазово-, дифференциально-фазовая и частотно-импульсная манипуляции соответственно; $f_{\text{пн}}$ – поднесущая частота ЧИМ-сигнала; \mathcal{E}_e – амплитуда передаваемого комплексного электрического сигнала $\underline{s}_e(t)$, “ $\underline{\quad}$ ” – символ комплексного числа. В системе передачи $\underline{s}_e(t)$ является действительным (реальным) сигналом, т.е. это комплексный сигнал с нулевой мнимой частью. В формулах (1) функция

$$\text{rect}(x) = \begin{cases} 1 & \text{для } |x| \leq 0,5, \\ 0 & \text{для } |x| > 0,5. \end{cases}$$

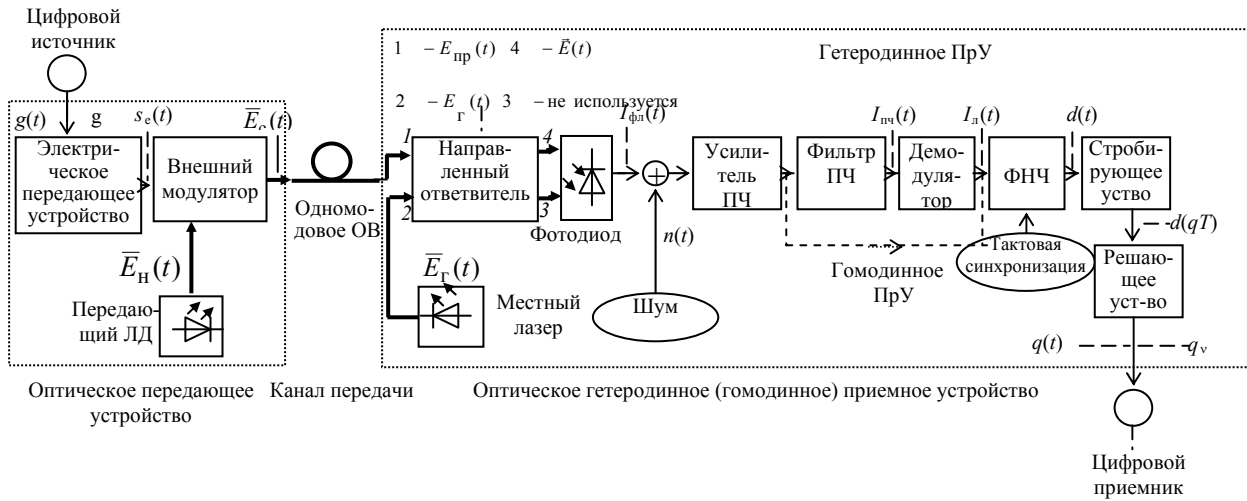


Рисунок 1 – Структурная схема когерентной ВОСП с гетеродинным (гомодинным) методом приема

Между коэффициентами модуляции s_v и символами модуляции g_v в выражениях (1) имеется следующая связь

$$\begin{aligned} s_v &= 1 & \text{для } g_v &= L, \\ s_v &= 0 & \text{для } g_v &= 0 \end{aligned}$$

для АИМ, ЧИМ и ФИМ форматов;

$$\begin{aligned} s_v &= s_{v-1} & \text{для } g_v &= L, \\ s_v &= \bar{s}_{v-1} & \text{для } g_v &= 0 \end{aligned}$$

для ДФИМ формата. Здесь через \bar{s}_v обозначен инверсный (относительно s_v) коэффициент модуляции, т.е. $\bar{s}_v = 1$ для $s_v = 0$ и $\bar{s}_v = 0$ для $s_v = 1$.

Лазер передающего устройства создает несущую волну частоты ν_n

$$\bar{E}_n(t) = \begin{pmatrix} \underline{E}_{\text{нх}}(t) \\ \underline{E}_{\text{ны}}(t) \end{pmatrix} = \underline{E}_n(t) e^{j2\pi\nu_n t} \bar{e}_n, \quad (2)$$

с нормированным (единичным) комплексным вектором

$$\bar{e}_n = \begin{pmatrix} e_{\text{нх}} e^{j\phi_{\text{нх}}} \\ e_{\text{ны}} e^{j\phi_{\text{ны}}} \end{pmatrix}, \quad \text{причем } \bar{e}_n \bar{e}_n^* = 1, \quad (3)$$

описывающим состояние поляризации волны по взаимно ортогональным координатам x и y , и комплексной амплитудой $\underline{E}_n(t)$, учитывающей амплитудный и фазовый шум, присутствующий в излучении лазера. Амплитудный шум $\underline{\mathcal{E}}_n(t)$ относится к устранимым (амплитудным ограничителем) помехам и может не учитываться, т.е. $\underline{\mathcal{E}}_n(t) \approx \underline{\mathcal{E}}_n$. На практике [1] преобладает фазовый шум

$$\underline{E}_n(t) = \underline{\mathcal{E}}_n(t) e^{j\phi_n(t)} \approx \underline{\mathcal{E}}_n e^{j\phi_n(t)}.$$

Внешний оптический модулятор управляет амплитудой, частотой или фазой несущей волны $\underline{\mathcal{E}}_n(t) \approx \underline{\mathcal{E}}_n$. При этом передаваемое сообщение $s_e(t)$, описываемое одним из соотношений (1), из электрической области спектра переносится в оптическую. Как преобразователь сигнала модулятор тождественен перемножителю. Вводя постоянный множитель K , получаем выражение для оптического сигнала в начале линии

$$\vec{E}_c(t) \approx K \underline{E}_s(t) \underline{E}_n(t). \quad (4)$$

Без потери общности можно положить $K \underline{E}_s = 1$.

При распространении по одномодовому ОВ оптический сигнал $\vec{E}_c(t)$ претерпевает изменения амплитуды, поляризации и формы импульса. Амплитуда волны уменьшается вследствие известных факторов [3]. Состояние поляризации неконтролируемо изменяется из-за тепловых и механических воздействий на ОВ, что приводит к нестабильной во времени поляризации принимаемой волны. Искажение формы сигнала в ОВ происходит вследствие совокупного действия трех составляющих дисперсии – материальной, волноводной и поляризационной. При условии пренебрежения дисперсионными эффектами (работа вблизи длины волны нулевой дисперсии ОВ) принимаемый оптический сигнал частоты $\nu_{np} = \nu_n$

$$\vec{E}_{np}(t) = \underline{s}(t) \underline{E}_{np}(t) e^{j2\pi\nu_{np}t} \vec{e}_{np}(t). \quad (5)$$

Зависящий от времени единичный вектор $\vec{e}_{np}(t)$, описываемый выражением, аналогичным (3), учитывает флуктуации поляризации излучения на входе ПрУ, а член

$$\underline{E}_{np}(t) = \underline{E}_{np} e^{j\phi_{np}(t)} = \underline{E}_n e^{-\alpha l} e^{j\phi_n(t)}, \text{ где } \phi_{np}(t) = \phi_n(t) \quad (6)$$

ослабленную в тракте длиной l км амплитуду напряженности электрического поля волны, α , 1/км – коэффициент затухания ОВ. Для случая пренебрежения дисперсионными искажениями в ОВ, передаваемый $\vec{E}_c(t)$ и принимаемый $\vec{E}_{np}(t)$ сигналы различаются только амплитудой ($\underline{E}_{np} \ll \underline{E}_c = \underline{E}_n$) и поляризацией, причем вектор $\vec{e}_c = \vec{e}_n$ не зависит, а вектор $\vec{e}_{np}(t)$ зависит от времени.

Предположим, что *гетеродин* (местный лазер) в приемном устройстве аналогичен передающему лазеру, т.е. напряженность его электрического поля частоты ν_r

$$\vec{E}_r(t) = \begin{pmatrix} \underline{E}_{rx}(t) \\ \underline{E}_{ry}(t) \end{pmatrix} = \underline{E}_r(t) e^{j2\pi\nu_r t} \vec{e}_r. \quad (7)$$

Нормированный единичный комплексный вектор \vec{e}_r , описываемый выражением аналогичным (3), учитывает стабильную во времени поляризацию волны гетеродина, а

$$\underline{E}_r(t) = \underline{E}_r(t) e^{j\phi_r(t)} \approx \underline{E}_r e^{j\phi_r(t)} \quad (8)$$

комплексную амплитуду напряженности поля.

Доминирующим видом искажения волны гетеродинного лазера является фазовый шум $\phi_r(t)$. Амплитудным шумом, как и ранее, можно пренебречь ($\underline{E}_r(t) \approx \underline{E}_r$). Волна гетеродинного лазера $\vec{E}_n(t)$ не ослабляется в линии передачи, поэтому $\underline{E}_r \gg \underline{E}_{np} = \underline{E}_n e^{-\alpha l}$ для $P_r \gg P_{np}$, где P_r и P_{np} – средние во времени значения мощности излучения местного лазера и приходящей из тракта волны сигнала соответственно.

В *направленном ответвителе* (НО) происходит сложение двух волн – модулированной (ослабленной и искаженной в тракте) и непрерывной – гетеродина. Гетеродинирование [1] происходит при суперпозиции (линейном сложении векторов напряженности поля) на поверхности ФД. В оптических НО имеется четыре порта (1, 2 – входные, 3, 4 – выходные, рис. 1). Направленный ответвитель без отражения света описывается [5] матричным уравнением

$$\begin{pmatrix} \vec{E}_4(t) \\ \vec{E}_3(t) \end{pmatrix} = \begin{pmatrix} \sqrt{1-k} & j\sqrt{k} \\ j\sqrt{k} & \sqrt{1-k} \end{pmatrix} \begin{pmatrix} \vec{E}_{np}(t) \\ \vec{E}_r(t) \end{pmatrix},$$

где k – коэффициент связи, $k = 0 \dots 1$. Значения мощности света $P_4(t)$ и $P_3(t)$ на выходных портах НО

$$P_4(t) \sim \vec{E}_4(t) \vec{E}_4^*(t) = |\vec{E}_4(t)|^2 = (1-k) |\vec{E}_{np}(t)|^2 + k |\vec{E}_r(t)|^2 + 2\sqrt{k(1-k)} \text{Im} \{ \vec{E}_{np}(t) \vec{E}_r^*(t) \}, \quad (9)$$

$$P_3(t) \sim \vec{E}_3(t) \vec{E}_3^*(t) = |\vec{E}_3(t)|^2 = (1-k) |\vec{E}_{np}(t)|^2 + k |\vec{E}_r(t)|^2 - 2\sqrt{k(1-k)} \text{Im} \{ \vec{E}_{np}(t) \vec{E}_r^*(t) \}. \quad (10)$$

Введем комплексные мощности \underline{P}_3 и \underline{P}_4 , причем $P_3 = \text{Re} \{ \underline{P}_3 \}$, $P_4 = \text{Re} \{ \underline{P}_4 \}$. Учитывая, что $P \sim |E(t)|^2$, $E_1 = E_{np}$, $E_2 = E_r$, после подстановки уравнений (5)–(8) в соотношения (9) и (10), находим выражения для мощности поля на портах 4 и 3 НО

$$P_4(t) = kP_r + (1-k)|s(t)|^2 P_{np} + 2\sqrt{k(1-k)}\sqrt{P_r P_{np}} s(t) a_n(t) e^{j\phi(t)} e^{j\phi_p(t)} e^{j2\pi f_{nc}t}, \quad (11)$$

$$P_3(t) = (1-k)P_r + k|s(t)|^2 P_{np} - 2\sqrt{k(1-k)}\sqrt{P_r P_{np}} s(t) a_n(t) e^{j\phi(t)} e^{j\phi_p(t)} e^{j2\pi f_{nc}t}, \quad (12)$$

где P_r и P_{np} – соответственно средние значения мощности света синусоидальной волны местного лазера и косинусоидальной волны сигнала в отсутствие модуляции. Значения промежуточной частоты $f_{nc} = \nu_{np} - \nu_r$ и результирующего фазового шума $\phi(t) = \phi_{np}(t) - \phi_r(t)$ при $\nu_{np} = \nu_n$ и $\phi_{np}(t) = \phi_n(t)$. Члены $a_n(t)$ и $\phi_n(t)$ в формулах (11) и (12) учитывают флуктуации поляризации.

Перемножение членов $\vec{e}_{np}(t)$ и \vec{e}_r , описываемых формулами, аналогичными (3), дает

$$\vec{e}_{np}(t)\vec{e}_r^* = a_n(t)e^{j\phi_n(t)}, \quad (13)$$

где

$$\begin{aligned} a_n(t) &= |\vec{e}_{np}(t)\vec{e}_r^*| = \sqrt{[\operatorname{Re}\{\vec{e}_{np}(t)\vec{e}_r^*\}]^2 + [\operatorname{Im}\{\vec{e}_{np}(t)\vec{e}_r^*\}]^2} = \\ &= \sqrt{e_{np_x}^2(t)e_{rx}^2 + e_{np_y}^2(t)e_{ry}^2 + 2e_{np_x}(t)e_{rx}e_{np_y}(t)e_{ry} \cos(\phi_{np_x}(t) - \phi_{rx} - \phi_{np_y}(t) + \phi_{ry})} \\ \phi_n(t) &= \operatorname{arctg}\left(\frac{\operatorname{Im}\{\vec{e}_{np}(t)\vec{e}_r^*\}}{\operatorname{Re}\{\vec{e}_{np}(t)\vec{e}_r^*\}}\right) = \\ &= \operatorname{arctg}\left(\frac{e_{np_x}(t)e_{rx} \sin(\phi_{np_x}(t) - \phi_{rx}) + e_{np_y}(t)e_{ry} \sin(\phi_{np_y}(t) + \phi_{ry})}{e_{np_x}(t)e_{rx} \cos(\phi_{np_x}(t) - \phi_{rx}) + e_{np_y}(t)e_{ry} \cos(\phi_{np_y}(t) + \phi_{ry})}\right). \end{aligned}$$

Фотодиод *p-i-n*-типа создает ток $i_{fd}(t)$ пропорциональный поглощаемой оптической мощности. В ПрУ с одним фотодиодом (см рис. 1) используется мощность света только одного из выходных портов НО, например, 4-го

$$i_{fd}(t) = k\rho_i P_r + (1-k)|s(t)|^2 \rho_i P_{np} + 2\rho_i \sqrt{k(1-k)}\sqrt{P_{np} P_r} s(t) a_n(t) e^{j\phi(t)} e^{j\phi_n(t)} e^{j2\pi f_{nc}t}. \quad (14)$$

Здесь ρ_i – токовый отклик ФД, $k\rho_i P_r$ – доминирующая постоянная составляющая обусловленная гетеродином; $(1-k)|s(t)|^2 \rho_i P_{np}$ – пренебрежимо малая постоянная, обусловленная составляющая вследствие сигнала, поскольку $P_{np} \ll P_r$; $2\rho_i \sqrt{k(1-k)}\sqrt{P_{np} P_r}$ – амплитуда полезного сигнала; $s(t)$ – сообщение; $a_n(t)$ и $\phi_n(t)$ – соответственно амплитудный и фазовый шум, вызванный флуктуацией поляризации; $\phi(t)$ – фазовый шум обоих лазеров.

В двухфотодиодном (балансном) [3] ПрУ, в отличие от однофотодиодного, используются сигналы обоих выходных портов НО. Генерируемые при этом в обоих фотодиодах токи $i_{fd4}(t)$ и $i_{fd3}(t)$ вычитаются ($i_{fd}(t) = i_{fd4}(t) - i_{fd3}(t)$), следовательно

$$i_{fd}(t) = (2k-1)\rho_i P_r + (1-2k)|s(t)|^2 \rho_i P_{np} + 4\rho_i \sqrt{k(1-k)}\sqrt{P_{np} P_r} s(t) a_n(t) e^{j\phi(t)} e^{j\phi_n(t)} e^{j2\pi f_{nc}t}. \quad (15)$$

Двухфотодиодное ПрУ согласно формуле (15) обеспечивает удвоение амплитуды полезного сигнала по сравнению с однофотодиодным (уравнение (14)). При выборе $k = 0,5$ исчезает как постоянная составляющая, как и нежелательная составляющая информационной полосы, пропорциональная P_{np} . По этим причинам двухфотодиодная схема целесообразна в гомодинных системах, где $f_{nc} = 0$.

Будем считать, что искажение сигнала вследствие флуктуаций поляризации незначительно (например, на приеме используется контроллер поляризации [5]). При этом ток, создаваемый фотодиодом,

$$i_{fd}(t) = \mathcal{K}_{fd} s(t) e^{j\phi(t)} e^{j2\pi f_{nc}t}, \quad \mathcal{K}_{fd} = 2K_B \sqrt{k(1-k)}\rho_i \sqrt{P_{np} P_r}. \quad (16)$$

При этом для двухфотодиодного ПрУ следует принять $K_B = 2$ и $k = 0,5$, для однофотодиодного – $K_B = 1$, значение k выбирается произвольно.

Аддитивный шум приемного устройства. На ток сигнала, описываемый формулой (16), аддитивно накладывается шум $n(t)$ – дробовой фотодиода и тепловой – активного сопротивления нагрузки ФД и усилителя (см. рис. 1). Эти источники шума в одинаковой мере содержат все частотные компоненты, поэтому шум белый. Постоянная составляющая двухсторонней спектральной плотности мощности (СПМ) шума в однофотодиодном ПрУ при использовании сигнала порта 4 НО

$$n_r(f) = n_r = q(\rho_i k P_r + I_r) + n_{cn}, \quad (17)$$

где I_T – темновой ток ФД, $n_{сп}$ – тепловой (либо дробовой) шум сигнального процессора. В общем случае при расчете СПМ дробового шума следует учитывать суммарную мощность света P_4 в (см. формулу (11)), а не только оптическую мощность гетеродинного лазера P_r . Поскольку $P_r \gg P_{пр}$, то при расчете шумов второй и третий члены в формуле (11) можно не учитывать.

В двухфотодиодном ПрУ постоянная составляющая СПМ дробового шума вдвое больше, чем в однофотодиодном. При $k = 0,5$ получаем

$$n_r(f) = n_r = q(\rho_i P_r + 2I_T) + n_{сп}. \quad (18)$$

Следует учитывать, что в двухфотодиодном ПрУ благодаря вычитанию токов фотодиодов $i_{фд4}(t)$ и $i_{фд3}(t)$ исчезают и постоянная составляющая фототока, и нежелательная составляющая информационной полосы, обе они пропорциональные $P_{пр}$. Однако этого не происходит с некоррелированными шумовыми токами фотодиодов.

Используя параметр K_B объединим уравнения (17) и (18) в общее

$$n_r(f) = n_r = qK_B(\rho_i k P_r + I_T) + n_{сп}.$$

После фильтрации (промежуточных частот в гетеродинной и информационных частот в гомодинной системах соответственно) белый шум $n_B(t)$ становится ограниченным по полосе окрашенным шумом $n(t)$. Дисперсия окрашенного шума $n(t)$ на выходе фильтра ПЧ в гетеродинной системе

$$\sigma_{ге}^2 = \sigma_{гет}^2 = n_r \int_{-\infty}^{\infty} |H_{пч}(f)|^2 df = 2n_r \int_{-\infty}^{\infty} |H_{\Delta f}(f)|^2 df,$$

где $H_{пч}(f)$ – передаточная функция полосового фильтра ПЧ, а $H_{\Delta f}(f)$ – его эквивалент для информационной полосы частот. Справедливы соотношения

$$H_{пч}(f) = H_{\Delta f}(f - f_{пч}) + H_{\Delta f}(f + f_{пч}),$$

$$h_{пч}(t) = h_{\Delta f}(t)e^{j2\pi f_{пч}t} + h_{\Delta f}(t)e^{-j2\pi f_{пч}t},$$

где $h_{пч}(t)$ и $h_{\Delta f}(t)$ – импульсные отклики фильтра ПЧ и эквивалентного ему фильтра информационной полосы частот соответственно. В гомодинных системах дисперсия окрашенного шума $n(t)$ на выходе ФНЧ

$$\sigma_{го}^2 = \sigma_{гом}^2 = n_r \int_{-\infty}^{\infty} |H_{ФНЧ}(f)|^2 df.$$

При использовании одинаковых типов фильтров (ПЧ в гетеродинном и ФНЧ в гомодинном ПрУ) $H_{ФНЧ}(f) = H_{\Delta f}(f)$

$$\sigma_{гет}^2 = 2\sigma_{гом}^2 = 2n_r \int_{-\infty}^{\infty} |H_{\Delta f}(f)|^2 df. \quad (19)$$

Из выражения (19) следует, что гомодинные системы приема теоретически имеют на 3 дБ лучшую чувствительность, чем гетеродинные [1...3]. Это справедливо при условии использования идеальных лазеров (без фазового шума) и одинакового формата модуляции, например, АИМ или ФИМ.

При анализе ВОСП считают, что аддитивные дробовые и тепловые шумы имеют нулевое среднее значение и нормальное распределение [3]. Функция распределения плотности вероятностей (ФРВП) $n(t)$ окрашенного шума

$$f_n(n) = \frac{1}{\sqrt{2\pi}\sigma_n} e^{-\frac{n^2}{2\sigma_n^2}} \quad \text{при} \quad \sigma_n = \begin{cases} \sigma_{гет} = \sqrt{2}\sigma_{гом} & \text{для гетеродина,} \\ \sigma_{гом} & \text{для гомодина.} \end{cases}$$

Узкополосное приближение. При анализе гетеродинных систем приема используют узкополосную аппроксимацию [3] окрашенного шума $n(t)$ в диапазоне ПЧ

$$n(t) = x(t) \cos(2\pi f_{пч}t) + y(t) \sin(2\pi f_{пч}t), \quad (20)$$

где $\sigma_n = \sigma_r = \sigma_x = \sigma_y$. Параметры $x(t)$ и $y(t)$ являются статистически независимыми, имеют нулевое среднее значение (как и окрашенный шум $n(t)$), и распределены по нормальному закону. Уравнение (20) справедливо при условии, что перекрытием частотных составляющих $H_{\Delta f}(f - f_{пч})$ и $H_{\Delta f}(f + f_{пч})$ в фильтре ПЧ можно пренебречь. Условие использования узкополосной аппроксимации $\Delta f_{пч} / f_{пч} \ll 1$, где $\Delta f_{пч}$ – ширина полосы пропускания, $f_{пч}$ – центральная частота фильтра ПЧ. Комплексное представление узкополосной аппроксимации

$$\underline{n}(t) = x(t)e^{j2\pi f_{\text{пч}}t} - jy(t)e^{j2\pi f_{\text{пч}}t} \quad \text{при} \quad n(t) = \text{Re}\{\underline{n}(t)\}.$$

Для анализа КВОСП удобно использовать *гауссов фильтр*, описываемый следующей парой функций

$$H_{\Delta f}(f) = e^{-\pi(f/2f_{\text{гр}})^2} \quad \text{и} \quad h_{\Delta f}(t) = 2f_{\text{гр}}e^{-\pi(2f_{\text{гр}}t)^2},$$

где $f_{\text{гр}}$ – граничная частота. Дисперсия окрашенного шума $n_o(t)$

$$\sigma_{\text{гет}}^2 = 2\sigma_{\text{гом}}^2 = 2\sqrt{2} \cdot n_{\text{г}} f_{\text{гр}}.$$

Задачей *демодулятора* (см. рис.) является преобразование смеси сигнала ПЧ и шума в основную полосу частот

$$\underline{i}_{\text{пч}}(t) = \int_{-\infty}^{\infty} \underline{i}_{\text{фд}}(\tau) h_{\text{пч}}(t - \tau) d\tau + \underline{n}(t) \approx \int_{-\infty}^{\infty} \underline{i}_{\text{фд}}(\tau) h_{\Delta f}(t - \tau) e^{j2\pi f_{\text{пч}}(t - \tau)} d\tau + \underline{n}(t). \quad (21)$$

Знак приближенного равенства в формуле (21) является прямым следствием принятия условия узкополосности. ФНЧ на выходе демодулятора устраняет нежелательные комбинационные продукты, возникающие при демодуляции. В гетеродинном ПрУ дополнительное ограничение полосы частот шума и коррекция сигнала не осуществляется этим фильтром. Сигнал $d(t)$ на выходе ФНЧ независимо от использованного формата модуляции в общем случае является нелинейно демодулированным сигналом.

В противоположность гетеродинному, в гомодинном ПрУ демодуляция осуществляется в процессе преобразования оптического сигнала в информационную полосу частот. В этом случае ФНЧ выполняет ограничение полосы и сигнала, и шума. Поэтому он должен быть узкополосным. В гомодинной системе этот фильтр может вызывать искажение сигнала [6].

Стробирование и принятие решения. В стробирующем устройстве из демодулированного сигнала $d(t)$ через промежутки времени, равные длительности символа, берутся выборки. Дискретный во времени строб-сигнал $d(qT + t_0)$ подается в решающее устройство. Момент времени стробирования t_0 является одним из параметров оптимизации. В случае использования симметричного гауссового фильтра, согласно уравнениям (3), оптимальный момент времени стробирования соответствует середине символа, т.е. $t_0 = 0$.

В зависимости от того, находится ли значение строб-сигнала $d(qT + t_0)$ ниже или выше порога решения решающее устройство выдает соответственно нулевой $V_q = 0$ или единичный $V_l = L$ символ. Порог решения, минимизирующий вероятность ошибки, является оптимизируемым параметром. Анализ стробирования $d(qT + t_0)$, в частности его статистические свойства и влияние на вероятность ошибки, подлежит оптимизации.

Выводы. Разработана математическая модель когерентной ВОСП для случаев применения гомо- и гетеродинных одно- и двухфотодиодных ПрУ. Модель учитывает 1) векторное сложение оптических полей сигнала и гетеродина на поверхности фотодиода, флуктуации состояния поляризации этих полей, межсимвольную интерференцию, постдетекторную фильтрацию и демодуляцию; 2) амплитудные и фазовые шумы сигнального и гетеродинного лазеров; шумы вследствие флуктуаций поляризации принимаемого сигнала; аддитивные шумы фотодиода и сигнального процессора. Полученные соотношения целесообразно использовать для аналитической оптимизации когерентной ВОСП по критерию минимальной вероятности ошибки и компьютерного моделирования.

Литература

1. Моршнев С.К., Францесон А.В. Системы когерентной оптической связи// Квантовая электроника. – 1985.- № 9. – С. 1786–1806.
2. Ярис А. Введение в оптическую электронику. – М.: Высшая школа, 1983. – 398 с.
3. Шереметьев А.Г. Когерентная волоконно-оптическая связь. – М.: Радио и связь, 1991. – 192 с.
4. Корнейчук В.И. Анализ преобразовательных свойств приемных устройств оптического диапазона// Инфортатика и связь: Сб. научн. тр. УГАС им. А.С. Попова. – Одеса, 1996. – С. 31-35.
5. Singh N.A.R., Jain V.K., Gupta H.M. Coherent optical communication fibre systems: A review// IETE Technical review/ – 1988. – V. 5, 72. – P. 271-286.
6. Koonen A.M.J., van Eijk P. Coherent optical communication // Trend in Telecommunications. – 1992. – V. 8, – №2. – P. 40-52.